



دانشگاه شهرستان و بلوچستان

تحصیلات تکمیلی

پایان نامه کارشناسی ارشد در مهندسی مکانیک گرایش تبدیل انرژی

عنوان:

# بررسی عددی انتقال حرارت هذلولوی در یک جسم استوانه ای تحت تابش فوق سریع لیزر متحرک گاووسی

استاد راهنما:

دکتر علیرضا حسین نژاد دوین

استاد مشاور:

دکتر سعید فراحت

تحقیق و نگارش:

مهران پارسایی برازجانی

(این پایان نامه از حمایت مالی معاونت پژوهشی دانشگاه سیستان و بلوچستان بهره مند شده است)

شهریور ۱۳۹۰

## **بسمه تعالی**

این پایان نامه با عنوان «بررسی عددی انتقال حرارت هذلولوی در یک دامنه استوانه ای تحت تابش فوق سریع لیزر متحرک گاووسی»، قسمتی از برنامه آموزشی دوره کارشناسی ارشد توسط دانشجو مهران پارسایی برازجانی تحت راهنمایی استاد پایان نامه دکتر علیرضا حسین نژاد دوین تهیه شده است. استفاده از مطالب آن به منظور اهداف آموزشی با ذکر مرجع و اطلاع کتبی به حوزه تحصیلات تكمیلی دانشگاه سیستان و بلوچستان مجاز می باشد.

(نام و امضاء دانشجو )

نام و نام خانوادگی	امضاء	تاریخ
استاد راهنما:		
استاد راهنما:		
استاد مشاور:		
استاد مشاور:		
داور ۱:		
داور ۲:		

نماینده تحصیلات تكمیلی:



دانشگاه سیستان و بلوچستان  
تعهدنامه اصالت اثر

اینجانب مهران پارسایی تأیید می کنم که مطالب مندرج در این پایان نامه حاصل کار پژوهشی اینجانب است و به دستاوردهای پژوهشی دیگران که در این نوشه از آن استفاده شده است مطابق مقررات ارجاع گردیده است. این پایان نامه پیش از این برای احراز هیچ مدرک هم سطح یا بالاتر ارائه نشده است.

کلیه حقوق مادی و معنوی این اثر متعلق به دانشگاه سیستان و بلوچستان می باشد.

نام و نام خانوادگی دانشجو:

امضاء

تقدیم به:

خانواده ام برای همه فداکاری ها و صبوری ها

## سپاسگزاری

این پایان نامه با همه فرازها و فرودها و سختی هایی که به دنبال داشت همراه با خاطره فراموش ناشدنی همراهی عزیزانی است که همه سختی ها همواره در کنار چنین خاطرات شیرینی به فراموشی سپرده می شود. نخست بر خود لازم می دانم از همه استادی محترم گروه مهندسی مکانیک دانشکده مهندسی شهید نیکبخت دانشگاه سیستان و بلوچستان تشکر و قددردانی نمایم، که در طول این دوره مطالب بسیاری از ایشان آموختم. مراتب ویژه قدردانی و سپاس را به استاد راهنمای ارجمند خود جناب آقای دکتر حسین نژاد تقدبیم می دارم که در این دوره به نسبت طولانی، ضمن دلسوزی فراوان و ارایه بی دریغ آموخته ها، تجربیات و وقت خود، در جریان مشکلات جانبی و غیر مربوط نیز از توجه ایشان بی بهره نبوده ام. از خداوند سبحان تداوم توفیقات این بزرگوار و سایر استادی محترم را خواهانم. ضمن آنکه جرقه اولیه تدوین پیشنهاد این پژوهه به دوره کارشناسی و استاد ارجمند جناب آقای دکتر پرویز ملک زاده برمی گردد که در اینجا از زحمات و توجهات ایشان، یاد و قدردانی می شود. لازم است بار دیگر بدین وسیله از شکیباوی، همراهی، فدائلی و بذل توجه مادی و معنوی خانواده خود، به خصوص پدر و مادرم، برادرانم مهرداد و حسین، و خواهرانم فاطمه و فرزانه کمال تشکر را نمایم و از بهترین پاداش دهنده‌گان اجر فراوان برای ایشان را خواستار باشم، که تنها او توانا بر جبران چنین محبت هایی است.

مراتب سپاس و ستایش خود را به سوی خداوند روزی بخش و رحمت کننده، به خاطر همه محبت و لطف و عنایتی که به من دارد و رشحه ای از آن در بالای این مقال گردآورده شده است، ابراز می دارم که بیش از شایستگی و لیاقت، رحمت گسترده خود را به این ناتوان، بی نظر به خطای بندۀ تقصیر کارش، ارزانی و نازل می کند، و با گسترانیدن جبهه خشوع و عبودیت در برابر ذات بی انتهای او، در ستایش او به مولا و سرور خود، آن امام متقین و شیر همواره پیروز الهی اقتدا می کنم. آنجا که در ترنم است:

«خدایا ! تویی سزاوار نیکو ستودن و بسیار و بیشمارت آفرین نمودن. اگر امید به تو بندند، بهترین امید بسته ای، و اگر چشم از تو دارند، این چشیداشت را هر چه نیکوتر، شایسته. خدایا در نعمت بر من گشادی و مرا زبانی دادی که بدان مدح جز تو را نخوانم و بر کس غیر تو آفرین نرانم. و بدان کسانی را نستایم که نومید کنند، یا گمان آن بود که نبخشند. خدایا ! مرا به درگاه تو نیازی است که آن نیاز را جز فضل تو به بی نیازی نرساند، و آن درویشی را جز عطا و بخشش تو به توانگری مبدل نگرداند. خدایا ! خشنودی خود را بهره ما فرما، هم در این حال که داریم، و بی نیازمان گردن از اینکه جز به سوی تو دست برداریم، که تو بر هر چیز توانایی.»

نهج البلاغه، ترجمه دکتر سید جعفر شهیدی

## چکیده:

به دلیل تولید انرژی زیاد در عملیات گرمایی با دوره زمانی کوتاه که می‌توان آن را در بهبود کیفی مواد بوسیله لیزر یافت، مدل هدایت گرمای قدیمی فوریه دیگر معتبر نیست و مدل غیر فوریه آن که منجر به یک معادله هذلولوی می‌گردد، می‌باشد مورد استفاده قرار گیرد. در این مطالعه با استفاده از یک مدل سه بعدی انتقال حرارت غیر فوریه، یک کد کامپیوتری بر اساس روش المان محدود (FEM) توسعه یافته است تا به مطالعه اثر لیزر در یک استوانه توپر تحت تابش غیر متقارن پرداخته شود. تپ لیزری که به لحاظ مکانی تابعیت گاوی و به لحاظ زمانی تابعیت غیر گاوی دارد، بر اساس قانون بیر به صورت یک چشممه گرمایی حجمی با کاهش توانی مدل شده است. اثر پارامترهای مختلف مانند زمان واهلش گرمایی، عدد بایوت، شعاع لیزر و دوره زمانی بررسی شده است. نتایج با مدل سنتی فوریه مقایسه گردیده است و تطابق خوبی را با حل تحلیلی در حالت چشممه گرمایی قابل انتگرال گیری، نمایش می‌دهد. نتایج نشان می‌دهد که در مدل غیر فوریه انتقال حرارت، دمای بیشینه، در نقطه زیر بیشینه تابش افزایش می‌یابد و آثار غیر فوریه انتقال گرما در دوره زمانی کوتاه‌تر و طول مشخصه کوچک‌تر، قوی‌تر می‌شود. به علاوه سرعت چشممه لیزری اثری خاص بر تغییرات دما ندارد.

**كلمات کلیدی:** انتقال حرارت هذلولوی - مدلسازی سه بعدی المان محدود - تابش غیر متقارن - پالس لیزری گاوی - استوانه توپر

## فهرست مطالب

	عنوان	
صفحه		
۱	فصل اول: مقدمه	
۲	۱-۱- لیزر و کاربردهای آن	
۴	۲-۱- معرفی چشمۀ لیزری گاووسی	
۶	۳-۱- معادله مشخصه غیر فوریه ای	
۹	۴-۱- معادله هذلولوی انتقال گرما	
۱۰	۵-۱- مروری بر کارهای انجام گرفته قبلی	
۱۳	۶-۱- معرفی کارحاضر	
۱۵	فصل دوم: معرفی مسأله، شرایط حاکم و شرایط مرزی	
۱۷	۲-۱- بیان مسأله	
۱۷	۱-۱- ۱. بیان مسأله ۱	
۱۸	۲-۱- ۲. بیان مسأله ۲	
۱۹	۲-۲- معادله حاکم	
۱۹	۱-۲-۲. معادله حاکم مسأله ۱	
۱۹	۲-۲-۲. معادله حاکم مسأله ۲	
۲۰	۳-۲- شرایط مرزی و اولیه	
۲۰	۱-۳-۲. شرایط مرزی مسأله ۱	
۲۱	۲-۳-۲. شرایط مرزی مسأله ۲	
۲۲	۴-۲- مدل سازی چشمۀ لیزری	
۲۴	۵-۲- بی بعد سازی معادلات حاکم و شرایط مرزی	
۲۵	۱-۵-۲. بی بعد سازی مسأله ۱	
۲۷	۲-۵-۲. بی بعد سازی مسأله ۲	
۲۹	فصل سوم: روش حل عددی	
۳۰	۱-۳- مقدمه	
۳۰	۲-۳- روش حل عددی برای مسأله ۱	
۳۰	۱-۲-۳. توابع درونیاب مسأله ۱	
۳۴	۲-۲-۳. تشکیل فرم ضعیف و انتگرال وزن دهی شده مسأله ۱	
۳۶	۳-۲-۳. اعمال روش گالرکین برای مسأله ۱	
۴۱	۴-۲-۳. عبارات گذرا و چشمۀ حرارتی	

۴۵	..... ۳-۳- الگوریتم برنامه محاسباتی مسأله ۱
۴۷	..... ۴-۳- روش حل عددی مسأله ۲
۴۷	..... شبکه حل مسأله ۲ ۱-۴-۳
۵۰	..... المان هشت وجهی ۲-۴-۳
۵۳	..... تشکیل فرم ضعیف و قضیه واگرایی ۳-۴-۳
۵۶	..... اعمال روش گالرکین برای المان هشت وجهی ۴-۴-۳
۶۲	..... المان منشوری ۵-۴-۳
۶۲	..... تدوین معادلات المان منشوری ۶-۴-۳
۶۶	..... عبارت چشمی ۷-۴-۳
۶۹	..... ۳-۵- الگوریتم برنامه محاسباتی مسأله ۲
۷۳	<b>فصل چهارم: بررسی استقلال شبکه و اعتبار سنجی نتایج</b>
۷۴	..... ۱-۴- بررسی استقلال شبکه
۷۵	..... ۲-۴- بررسی استقلال شبکه مسأله ۱
۷۷	..... ۳-۴- بررسی استقلال شبکه مسأله ۲
۸۱	..... ۴-۴- بررسی اعتبار نتایج
۸۴	<b>فصل پنجم: نتایج حاصل و بررسی آن ها</b>
۸۴	..... ۱-۵- نتایج حاصل از مسأله دو بعدی و بررسی آن ها
۸۴	..... ۱-۱-۵- اثر زمان واهلش گرمایی بدون بعد بر منحنی دمای بدون بعد بر حسب موقعیت در جهت $Y^*$
۸۵	..... ۲-۱-۵- بررسی اثر دوره زمانی اعمال لیزر روی دما
۸۶	..... ۳-۱-۵- خطوط هم تراز دمای بعددار
۸۷	..... ۲-۲-۵- نتایج بدون بعد حاصل از مسأله استوانه ای سه بعدی و بررسی آن ها
۸۷	..... ۱-۲-۵- بررسی تأثیر عدد بایوت بر تغییرات دما در راستای $Z^*$
۸۸	..... ۲-۲-۵- بررسی تأثیر پارامتر $C$ بر تغییرات دمای بدون بعد در راستای $Z^*$
۸۹	..... ۳-۲-۵- اثر پارامتر $\tau_0$ بر تغییرات دمای بدون بعد بر حسب زمان
۹۱	..... ۴-۲-۵- اثر سرعت بدون بعد بر تغییرات دما در راستای $Z^*$
۹۲	..... ۵-۲-۵- اثر طول مشخصه محیط بر نمودار دمای بدون بعد در راستای شعاعی
۹۳	..... ۶-۲-۵- خطوط هم تراز دمای بدون بعد
۹۴	..... ۳-۵- نتایج بعددار حاصل از مسأله استوانه ای سه بعدی و بررسی آن ها
۹۴	..... ۱-۳-۵- بررسی تأثیر دوره زمانی اعمال لیزر بر تغییرات دما
۹۵	..... ۲-۳-۵- اثر شعاع تابش لیزر بر تغییرات دما
۹۶	..... ۳-۳-۵- بررسی اثر بیشینه تابش فروودی لیزر روی تغییرات دما
۹۷	..... ۴-۳-۵- بررسی اثر ضریب جابجایی بر تغییرات دما
۹۸	..... ۵-۳-۵- بررسی اثر سرعت چشمی لیزری
۹۹	..... ۴-۵- نتیجه گیری

۱۰۰	..... پیشنهادات برای ادامه کار ..... ۵-۵
۱۰۲	..... مراجع .....
۱۰۷	..... پیوست ها .....
۱۰۸	..... پیوست (الف) - معرفی روش اجزای محدود .....
۱۱۱	..... پیوست (ب) - اصول تجمیع معادلات المانی .....
۱۱۵	..... پیوست (ج) - پیش روی در زمان .....
۱۱۹	..... پیوست (د) - المان منشوری با پایه مثلثی .....
۱۲۱	..... پیوست (ه) - رابطه گاوس-لزاندر و مختصات مساحتی .....

## فهرست جدول ها

	عنوان جدول	
	صفحه	
۸	جدول ۱-۱. مقدار زمان واهلش گرمایی برخی فلزات مشهور بر حسب $10^{-14}$ ثانیه بر اساس مرجع [۱۰]	
۷۷	جدول ۱-۴. نتایج مطالعه شبکه در جهت $X^*$ به ازای مقادیر (۱-۴) به غیر از $Im = 10^5$ و برای $t^* = 2$ و $Y^* = 1.0$ ، $X^* = 0.5$	
۷۷	جدول ۲-۴. نتایج مطالعه شبکه در جهت $Y^*$ به ازای مقادیر (۱-۴) به غیر از $Im = 10^4$ و برای $t^* = 2$ و $Y^* = 1.0$ ، $X^* = 0.5$	
۷۸	جدول ۳-۴. نتایج مطالعه شبکه در جهت $Z^*$ به ازای مقادیر (۱-۴) و برای $Z^* = 0.5$ ، $n_\Theta = 10$ و $n_r = 5$ ، $t^* = 2$ و $\Theta = 72^\circ$ ، $r^* = r_0^*$	
۷۸	جدول ۴-۴. نتایج مطالعه شبکه در جهت $\Theta$ به ازای مقادیر (۱-۴) و برای $Z^* = 0.5$ ، $n_\Theta = 10$ و $n_z = 40$ ، $t^* = 2$ و $\Theta = 90^\circ$ ، $x^* = r_0^*$	
۷۹	جدول ۵-۴. نتایج مطالعه شبکه در جهت $r$ به ازای مقادیر (۱-۴) و برای $r^* = r_0^*$ ، $Z^* = 0.5$ ، $n_\Theta = 20$ و $n_z = 40$ ، $t^* = 2$ و $\Theta = 90^\circ$	
۸۰	جدول ۶-۴. نتایج مطالعه شبکه برای یافتن بازه زمانی مناسب به ازای مقادیر (۱-۴) و برای $t^* = 10$ و $\Theta = 72^\circ$ ، $r^* = r_0^*$ ، $Z^* = 0.5$	

فهرست شکل ها

عنوان شکل

صفحه

۵	..... شکل ۱-۱. توزیع گاوسی برای توان تابش لیزر
۵	..... شکل ۱-۲. تابعیت زمانی لیزر تابشی (تابع غیر گاوسی)
۱۷	..... شکل ۱-۲. دامنه مربعی تحت تابش لیزر
۱۸	..... شکل ۲-۱. نمای سه بعدی استوانه توپر
۱۹	..... شکل ۲-۲. نمای دو بعدی تابش لیزر و دامنه فیزیکی در صفحه XY
۲۳	..... شکل ۲-۳. پارامترهای هندسی مطرح در مدلسازی چشم‌گرمایی
۳۱	..... شکل ۳-۱. طرحواره مساله دو بعدی
۳۱	..... شکل ۳-۲. المان مربعي
۴۹	..... شکل ۳-۳. نمای نمونه از شبکه بندی مسأله در صفحه X-Y
۴۹	..... شکل ۴-۱. نمای سه بعدی شبکه بندی دامنه حل
۵۰	..... شکل ۴-۲. نمای دو بعدی شبکه بندی دامنه حل برای صفحه عمود بر محور طولی
۵۱	..... شکل ۶-۳. المان هشت وجهی قطاع مانند مناسب برای مختصات استوانه ای
۵۱	..... شکل ۷-۳. نمایه سه بعدی المان قطاع مانند
۵۴	..... شکل ۸-۳. حجم $\Omega$ محصور به سطح $\Gamma$
۷۶	..... شکل ۱-۴. بررسی استقلال شبکه در راستای X برای مسأله دو بعدی برای مقادیر پیش فرض به غیر از $Im = 10^5$
۷۶	..... شکل ۲-۴. بررسی استقلال شبکه در راستای Y برای مسأله دو بعدی برای مقادیر پیش فرض به غیر از $Im = 10^4$
۷۸	..... شکل ۳-۴. نتایج بررسی استقلال شبکه در راستای Z به ازای مقادیر پیش فرض (۱-۴) و به ازای $r_0^* = r_0$ و $\Theta = 72^\circ$ , $t^* = 2$
۷۹	..... شکل ۴-۴. نتایج بررسی استقلال شبکه در راستای $\Theta$ به ازای مقادیر پیش فرض (۱-۴) و به ازای $r_0^* = r_0$ و $\Theta = 90^\circ$ , $t^* = 2$
۸۰	..... شکل ۵-۴. نتایج بررسی استقلال شبکه در راستای $t$ به ازای مقادیر پیش فرض (۱-۴) و به ازای $Z^* = 0.5$ و $\Theta = 90^\circ$ , $t^* = 2$
۸۱	..... شکل ۶-۴. نتایج بررسی استقلال شبکه برای بازه زمانی به ازای مقادیر پیش فرض (۱-۴) و به ازای $r_0^* = r_0$ , $r^* = r_0$ و $\Theta = 72^\circ$ , $t^* = 10$
۸۲	..... شکل ۷-۴. مقایسه بین حل تحلیلی از مرجع [۴۲] و حل عددی برای $r^* = r_0^*$ , $\Theta = 90^\circ$ و $t^* = 10$ برای چشم‌گرمایی حرارتی به فرم $Q = Q_0 \sin(\pi Z) = Q_0 \sin(0.5\pi t)$ و مقادیر پیش فرض (۱-۴)
۸۵	..... شکل ۱-۵. منحنی دمای بدون بعد بر حسب موقعیت در جهت Y به ازای مقادیر پیش فرض (۱-۵) و برای $t^* = 0.2$
	..... شکل ۲-۵. نمودار دما بر حسب Y به ازای مقادیر پیش فرض (۱-۵) و به ازای مقادیر مختلف

۸۶	دوره زمانی اعمال لیزر برای مسئله دو بعدی
۸۷	شکل ۳-۵. خطوط هم تراز دمای بعددار مسئله دو بعدی به ازای مقادیر پیش فرض (۲-۵) و برای $t=0.5\mu s$
۸۸	شکل ۴-۵. اثر عدد بدون بعد بایوت روی منحنی دمای بدون بعد روی مسیر $r^* = r_0^*$ و $\Theta = 90^\circ$ و برای $t^* = 2.6$ و مقادیر پیش فرض (۲-۵)
۸۹	شکل ۵-۵. اثر عدد بدون بعد روی تغییرات دمای بدون بعد روی مسیر $r^* = r_0^*$ و $\Theta = 90^\circ$ و برای $t^* = 1.0$ و مقادیر پیش فرض (۲-۵)
۹۰	شکل ۶-۵. تغییرات دمای بدون بعد بر حسب زمان بدون بعد برای نقطه $Z^* = 0.5$ و $\Theta = 90^\circ$ و به ازای مقادیر پیش فرض (۲-۵)
۹۱	شکل ۷-۵. تغییرات دمای بدون بعد، برای مسیر $r^* = r_0^*$ ، $\Theta = 90^\circ$ و سرعت چشمeh حرارتی $v^* = 0.1$ و به ازای زمان های بدون بعد مختلف
۹۲	شکل ۸-۵. تغییرات دمای بدون بعد ، برای مسیر $r^* = r_0^*$ و زمان $t^* = 2.0$ و به ازای سرعت های بدون بعد مختلف
۹۳	شکل ۹-۵. نمودار تغییر دمای بدون بعد بر حسب مختصع شعاعی مکان، برای مسیر $Z^* = 0.5$ و $\Theta = 90^\circ$ ، به ازای مقادیر پیش فرض (۲-۵) به غیر از $t_p = 10^{-15} s$ و $(W)P_m = 5 \times 10^{12}$
۹۴	شکل ۱۰-۵. کانتور دمای بدون بعد برای زمان های (الف). $t^* = 0.1$ ، (ب). $t^* = 0.02$ ، (ج).
۹۵	شکل ۱۱-۵ . نمودار دما بر حسب جهت پیرامونی $\Theta$ ، به ازای مقادیر پیش فرض (۲-۵) به غیر از $(W/m^2) I_m = 10^{12}$ و برای $t = 2 \mu s$ و $r = r_0$ ، $Z = L/2$
۹۶	شکل ۱۲-۵. تغییرات دما در راستای $Z$ ، برای $r = r_0$ ، $\Theta = 90^\circ$ و به ازای مقادیر پیش فرض $t = 2 \mu s$ به غیر از $(W)P_m = 10^6$
۹۷	شکل ۱۳-۵. نمودار دما بر حسب جهت پیرامونی $\Theta$ برای مسیر $Z = L/2$ و زمان $t = 2 \mu s$ و به ازای مقادیر پیش فرض (۲-۵) به غیر از $t_p = 1 \mu s$
۹۸	شکل ۱۴-۵. تغییرات دما بر حسب جهت پیرامونی $\Theta$ برای مقادیر مختلف از ضریب جابجایی در سطح استوانه، به ازای مقادیر پیش فرض (۲-۵) به غیر از $(W)P_m = 5 \times 10^5$ و $t_p = 1 \mu s$ برای مسیر $Z = L/2$ و $r = r_0$
۹۹	شکل ۱۵-۵. تغییرات دمای خروجی بر حسب موقعیت طولی $Z$ روی مسیر $r = r_0$ و $\Theta = 90^\circ$ و به ازای مقادیر پیش فرض (۲-۵) به غیر از $t_p = 10^{-12} s$ و $(W)P_m = 5 \times 10^{12}$ و برای مقادیر مختلف سرعت چشمeh لیزری
۱۱۱	شکل ب-۱. یک نمونه ساده برای افزار دامنه حل
۱۱۹	شکل د-۱. نمای سه بعدی المان منشوری
۱۱۹	شکل د-۲. نمای المان منشوری در صفحه XY
۱۲۲	شکل ۱-۵. مدل ناحیه محاسبه در روش گاووس-لزاندر
۱۲۲	شکل ۲-۵. مختصات مساحتی برای مثلث

## فهرست علائم

نشانه	علامت
مساحت سطح	A
عدد بایوت	Bi
نماد المان	e
تابعیت زمانی چشممه لیزری	g
ظرفیت گرمایی ویژه	c (kJ / kg.K)
ضریب انتقال حرارت جابجاگایی	h (W / m <sup>2</sup> K)
طول مشخصه المان	H (m)
بیشینه شدت تابش لیزر	I <sub>m</sub> (W / m <sup>2</sup> )
ضریب هدایت گرمایی	k (W / mK)
طول استوانه و طول ضلع دامنه مربعی	L (m)
تعداد المان در راستاهای r ، Θ و Z	n <sub>r</sub> , n <sub>θ</sub> , n <sub>z</sub>
توان تابش لیزر	P (W)
بیشینه قدرت لیزر	P <sub>m</sub> (W)
شار گرما	q (W / m <sup>2</sup> )
چشممه گرمایی	Q (W / m <sup>3</sup> )
متغیر شعاعی مکانی	r
شعاع استوانه	r <sub>0</sub>
چشممه گرمایی	S (W / m <sup>3</sup> )
تابع درونیاب	s
دما	T (K)
متغیر زمان	t (s)
دوره زمانی اعمال لیزر	t <sub>p</sub> (s)
شعاع لیزر	w (m)
متغیرات عمومی مکانی	X, Y, Z (m)
متغیرات محلی مکانی	x, y, z (m)
ضریب تظریف شبکه	β
ضریب جذب خطی محیط	γ (m <sup>-1</sup> )
دلتای کرونوکر	δ
تغییرات متغیرات	Δ
متغیرات مکانی طبیعی	η, ̈η

مختصه مکانی پیرامونی عمومی و محلی	$\theta, \Theta$
چگالی	$\rho \left( \text{kg} / \text{m}^3 \right)$
تابع وزن	$\omega$
زمان واهلش گرمایی	$\tau_0 \left( \text{s} \right)$
نماد اعداد بدون بعد	*



## فصل اول

### مقدمه

## ۱-۱ لیزر و کاربردهای آن

لیزر شاخه جدیدی از دانش نورشناسی<sup>۱</sup> است که از دستاوردهای بشر در نیمه دوم قرن بیستم به حساب می‌آید. لیزر در واقع نتیجه تابش پرتوهای نور ناشی از تحریک الایی تعداد زیادی از اتم‌های مربوط به یک ماده یا مخلوطی است که آن را به عنوان سیستم لیزری می‌شناسند. نام لیزر را نیز از همین تعریف گرفته‌اند.<sup>۲</sup> این در حالی است که نور معمولی ناشی از نشر خودبه خودی فوتونهای ناهم فاز است[۱]. برای نور لیزر می‌توان ویژگی‌های زیر را برشمرد[۲].

• جهت مندی: نور لیزر به صورت باریکه‌ای به ضخامت چند میلی‌متر تولید می‌شود و تا

مسافت‌های دور بدون افزایش ضخامت چشمگیر منتشر می‌شود.

• درخشندگی زیاد: توان لامپ‌های لیزری زیاد نیست. گاهی به حدود چند میلی‌وات می‌رسد. این در حالی است که توان یک لامپ حبابی معمولی ۲۰۰ وات است. البته باید متذکر شد که انرژی لیزر بر واحد سطح بیشتر است، چون این انرژی را بر سطحی بسیار کوچک متتمرکز می‌کند.

• تک رنگی: نور لیزر تک رنگ است. البته هیچ نوری به طور مطلق تک رنگ نیست. در حالی که تغییرات مؤثر شدت با بسامد که آن را بیناب نور گویند، در نور معمولی در حدود  $10^{14}$  هرتز است، در لیزر به کمتر از چند هرتز می‌رسد.

• همدوسی: فوتون‌های نور لیزری به طور کامل همدوس یا هم فازند.

• توانایی کانونی شدن: نور لیزر را می‌توان بوسیله عدسی بر سطحی به بزرگی چند میکرون مربع متتمرکز نموده و دمای آن را به شدت افزایش داد. امروزه می‌توان با کانونی کردن نور لیزر دما را در نقطه هدف به  $10^{34}$  درجه کلوین رساند.

<sup>1</sup> Optics

<sup>2</sup> Light Amplification by Stimulated Emission of Radiation (LASER)

- توانایی تبدیل به فرم تپی<sup>۱</sup>: می‌توان نور لیزرها را به صورت تپ‌های کوتاه مدت ایجاد نمود. امروزه با بکار بردن روش‌های خاص انرژی هر تپ را تا  $10^{-15}$  ثانیه می‌توان کاهش داد.

نور لیزر می‌تواند به صورت موج پیوسته<sup>۲</sup> یا CW و یا به صورت غیرپیوسته یا تپی شکل باشد، که آن‌ها را در اصطلاح موج تپی<sup>۳</sup> یا PW می‌گویند. توان لیزر موج پیوسته در حدود چند میلی‌وات است. برای بسیاری از کاربردها لیزرهای پیوسته مناسب نبوده و کمتر مورد استفاده دارند. برای افزایش توان خروجی سعی می‌شود خروجی لیزر به صورت موج تپی باشد. چنین لیزرنی را به روش‌های مختلفی نظیر بستاور مکانیکی، کلیدزنی<sup>۴</sup> و قفل شدگی مدلی<sup>۵</sup> می‌توان بدست آورد.

گفته می‌شود که لیزر همچون کبریتی باعث مشتعل شدن علم و فناوری شده است. هر کدام از ویژگی‌های لیزر مانند تکرنتگی، جهتمندی، همدوسی و درخشندگی خود اساس شاخه‌ای خاص از کاربرد لیزر است. اما به طور کلی می‌توان کاربردهای لیزر را به دو گروه مهم تقسیم کرد. یکی کاربرد لیزر در بر هم کنش با ماده و دیگری کاربرد لیزر در ارتباطات[۱].

لیزرهای مانند فرآوری مواد، پزشکی و جوش هسته‌ای از جایگاه خاصی برخوردار شده‌اند. از کاربردهای لیزر در برهم کنش با مواد می‌توان به موارد زیر اشاره کرد.

- لیزر به عنوان مته: باریکه لیزر می‌تواند مانند یک مته سوراخ‌هایی به قطر چند میکرومتر بدون خرد و دندانه روی مواد مختلف ایجاد کند.

• لیزر برای جوشکاری: جوش دادن قطعات بسیار بزرگ یا بسیار کوچک بدون آسیب رساندن به نقاط مجاور با لیزر ممکن است و مورد استفاده بسیاری در صنایع ساخت خودرو و هواپیما دارد.

- برش‌های لیزری: برش اجسام مختلف با سرعت و دقیق و تمیزی بسیار زیاد با لیزر ممکن است.

---

<sup>1</sup> Pulse

<sup>2</sup> Continues wave

<sup>3</sup> Pulse wave

<sup>4</sup> Q-Switching

<sup>5</sup> Mode Locking

در این پروژه هدف آن است که عملیات لیزری بر روی یک استوانه توپر و نیز یک دامنه مربعی به صورت عددی تحلیل گردد. این عملیات می‌تواند از انواع عملیات گرمایی باشد که برای بهبود خواص مواد بر مبنای تغییر شبکه کریستالی آن‌ها<sup>[۴]</sup>، قبل از برشکاری یا سایر انواع عملیات ساخت و تولید کاربرد دارد. این دو شکل یعنی استوانه و مربع از لحاظ کاربردی بسیار متداول بوده و مدل مناسبی برای بسیاری از قطعات صنعتی می‌باشند. در این پروژه پارامترهای مختلفی بررسی می‌گردد که در ادامه بیان می‌گردد. از آنجا که در انواع عملیات لیزری ممکن است، گرادیان‌های شدید دمایی و همچنین زمانهای بسیار کوچک وجود داشته باشد، معادلات معمول سهموی انتقال گرما دقیق‌تر ندارد و بنابراین با مدل جدیدتری از انتقال گرما کار می‌شود.

## ۱-۲ معرفی چشمی لیزری گاووسی

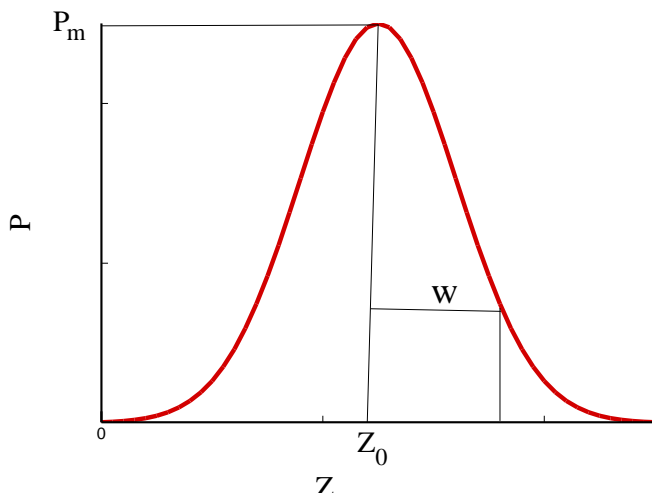
یکی از معمولترین توزیعات مکانی مربوط به لیزر توزیع گاووسی آن است<sup>[۲]</sup>. این توزیع را می‌توان به صورت زیر نوشت:

$$P(X, Z, t) = g(t) P_m \exp \left[ -\left( \frac{X - X_0}{w} \right)^2 - \left( \frac{Z - Z_0}{w} \right)^2 \right] \quad (1-1)$$

که در آن  $P$  قدرت تابش لیزر بر حسب وات ( $W$ ) است.  $P_m$  بیشینه این توان است که در نقطه  $X_0$  و  $Z_0$  قرار دارد و این نقطه می‌تواند حرکت نیز داشته باشد.  $w$  میزان تمرکز منحنی گاووسی لیزر را نمایش می‌دهد و به عدسی متمرکز کننده پرتوهای خروجی لیزر بستگی دارد<sup>[۲]</sup>. به صورت معمول به آن شعاع تابش لیزر<sup>۱</sup> گویند و جایی از منحنی گاووسی را نمایش می‌دهد که شدت تابش به حدود ۱۳ درصد مقدار بیشینه رسیده باشد. چنین توزیعی از شدت تابش را توزیع گاووسی می‌نامند و در شکل (۱-۱) برای راستایی مانند  $Z$ ، می‌توان این تابعیت را به صورت زیر نمایش داد.

---

<sup>1</sup> Laser Beam radius

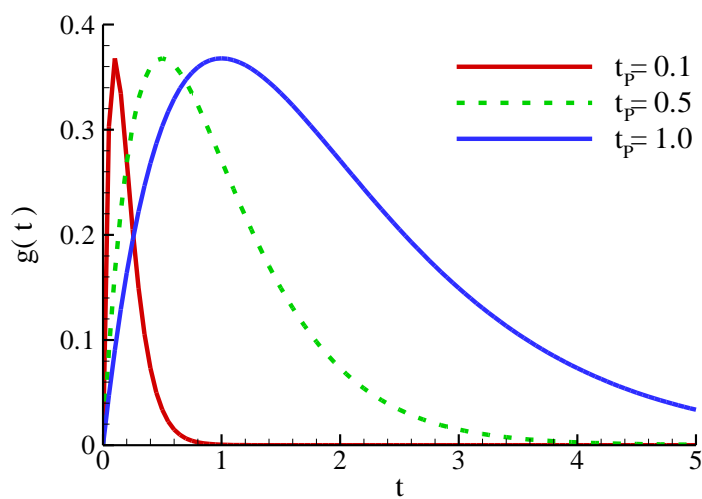


شکل ۱-۱. توزیع گاوسی برای توان تابش لیزر

برای توزیع زمانی تابش لیزر بر اساس مرجع [۱۴] می‌توان چنین تابعیتی را در نظر گرفت:

$$g(t) = \frac{t}{t_p} \exp\left[-\frac{t}{t_p}\right] \quad (2-1)$$

که به آن توزیع غیر گاوسی<sup>۱</sup> می‌گویند.  $t_p$  معروف دوره زمانی<sup>۲</sup> پالس لیزری است که به همین نام شناخته می‌شود و بر حسب ثانیه (s) است. شکل (۲-۱) تابعیت  $t$  بر حسب  $g$  به ازای مقادیر مختلف  $t_p$  را نشان می‌دهد.



شکل ۱-۲. تابعیت زمانی لیزر تابشی (تابع غیر گاوسی)

<sup>۱</sup> Non-Gaussian Pulse

<sup>۲</sup> Time Duration